

京都大学大学院 学生会員○尾崎 健
京都大学大学院 正会員 服部 篤史
京都大学大学院 フェロー 宮川 豊章

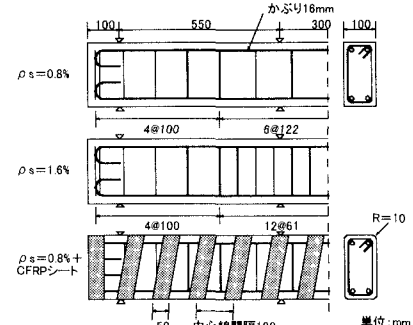


図1 はり供試体の形状・寸法
表1 コンクリートの配合

普通コンクリート						混合剤(cc/m³)	NaCl (kg/m³)
Air (%)	W/C (%)	W/P (%)	単位量(kg/m³)	W C Lp S G	No.303		
4±0.5	55	55	160	305	-	882 950	762.5 610
	55	55	160	305	-	863 950	762.5 610
	55	55	160	305	-	863 950	762.5 610

高流動コンクリート						混合剤(cc/m³)	増粘剤(g/m³)	CaCl₂ (kg/m³)
Air (%)	W/C (%)	W/P (%)	単位量(kg/m³)	W C Lp S G	SP-B5XII No.7755			
4	41.1	185	336	114 820 832	6180	1350	334	-
	41.1	185	336	114 802 832	12600	1350	-	-

*粗骨材率=10%
*普通コンクリートのスランプ目標値=9±1cm
*高流動コンクリートのスランプ目標値=60±5cm
*塩分はCl⁻量にして11.2kg (普通・高流動コンクリートで共通)

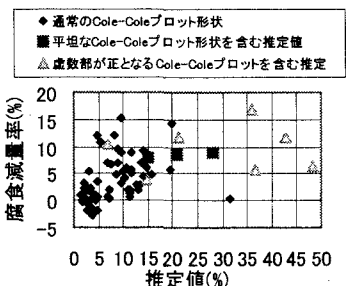


図2 交流分極抵抗による腐食減量率の推定

1.研究目的 現在、RC構造物には各種劣化要因による性能低下を考慮した耐久性設計が必要とされている。本研究では、塩害環境下にあるRC部材の耐荷力低下を、腐食モニタリングにより把握するため、鉄筋腐食させた供試体を用いて実験および解析を行い、塩害補修・補強時に配慮すべき点について検討した。

2.実験概要 はり供試体の要因として「劣化初期段階」(供試体作成後すぐ載荷試験)「劣化後段階」(塩水散水環境下で材令36ヶ月)の2段階を設定した。「劣化初期段階」供試体は塩分混入の有無、高流動コンクリートの使用、ゼブラ状CFRPシート巻立て補強を要因とし、「劣化後段階」供試体はそれらに横拘束筋量の違い、曲げ区間に塩分を含む打継ぎを要因として加えた。供試体は図1に示すような10×20×160cmの複鉄筋RCはりとし、主筋はD10異形棒鋼(鉄筋比0.812%)で曲げ降伏が先行)とした。スパンは140cm、曲げ区間は30cmとし、また横拘束区間を中央70cmとして、帯筋(Φ6)を体積比0.8%および1.6%(間隔12.2cmおよび6.1cmに相当する)で配置した。横拘束区間の両側55cmをせん断区間とし、帯筋を間隔10cmで配置して示方書よりせん断破壊に対しやや安全側とした。主筋フック部に測定用コードをエポキシ樹脂で防水して取付け、帯筋には防錆塗料を塗布した。コンクリートは表1に示す4種類の配合とし、塩害の断面補修を想定した打継ぎ供試体では曲げ区間にのみ塩分を混入した。CFRPシート巻立て補強は、幅5cm、中心線間隔12.2cm、繊維体積比0.136%のゼブラ状とし、端部で定着をとった。腐食モニタリング項目は、ひび割れ性状(幅0.05mm単位)、自然電位(AgCl電極)、分極抵抗(矩形波800Hz・0.1Hzで鉄筋全表面を測定)、および交流法10Hz~0.01Hzの二重対極を

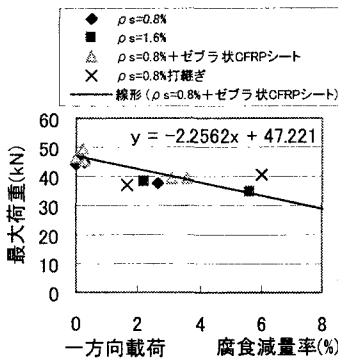


図3 腐食減量率が最大荷重に与える影響

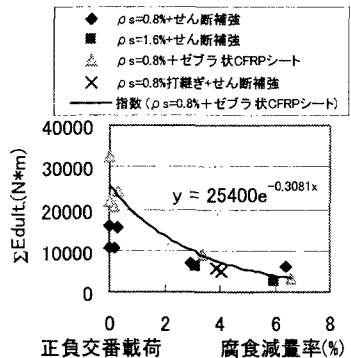
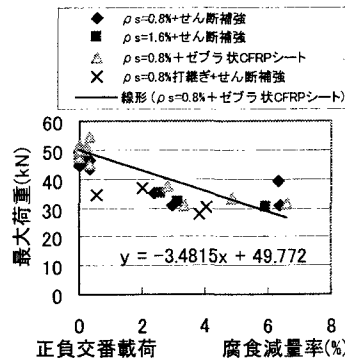


図4 腐食減量率が正負交番載荷下の累積消散エネルギーに与える影響

用いた局部的な測定、測定面積約 6.2cm^2 、埋設ミニセンサによる自然電位・分極抵抗(矩形波)とした。載荷試験は対称2点単調漸増一方向あるいは正負繰返し載荷とし、荷重、変位、曲げ区間の曲率、スパン中央における主筋・帯筋・CFRPシートひずみを測定した。腐食減量率の測定はJCI-SC1「コンクリート中の鋼材の腐食評価方法」に準じ、横拘束区間の主筋(70cm)、およびそれらを5cm毎に切断したものの腐食減量率を測定した。

3.実験結果 載荷試験時において、劣化初期段階の供試体には腐食ひび割れが観察されないが、劣化後段階の供試体にはすべて腐食ひび割れが観察され、最大2mm以上に達した。

鉄筋全長にわたる分極抵抗(矩形波)、局所的な分極抵抗(交流法)、ミニセンサによる分極抵抗(矩形波)を用いて、鉄筋の腐食減量率の推定($K=0.026\text{V}$ とした)を行い、実際の値と比較を行った。鉄筋全長の推定値は、実験値の4倍程度の値となるものの大まかな相関がある。ミニセンサによる推定(測定面積 0.785cm^2 とした)はばらつきが多い。交流法では、図2に示すように電流分布の制御により精度が向上した。いずれの測定も推定値が過大となる場合があり、腐食の進行した場合の分極抵抗の評価に注意が必要である。

腐食減量率がはり供試体の降伏荷重および最大荷重に与える影響を図3～4に示す。腐食減量率は、横拘束区間の引張縁主筋2本のうち、大きい方で与えた。図中の曲線は全てゼブラ状CFRPシート補強供試体に関する近似曲線であり、最大荷重は直線近似、累積消散エネルギーは指指数関数で近似した。腐食減量率の増加に伴い、降伏荷重は徐々に減少するが、主筋の腐食区間により傾向が異なる。腐食減量率が最大荷重に与える影響は、一方向載荷より正負交番載荷下において若干大きい。変位靭性率および累積消散エネルギーは腐食減量率の影響を受け大きく低下したが、主筋伸び能力の低下の影響と考えられる。また腐食減量率が大きくなると、横拘束筋体積比の増加、ゼブラ状CFRPシート補強によっても最大荷重、変位靭性率、累積消散エネルギーの各指標は無補強のものに比べては大きくならない。これは横拘束により圧縮縁コンクリート耐力が増加するが、主筋の伸び性能低下が著しいためと考えられる。すなわち塩害劣化RC構造物の靭性補強として、横拘束補強のみでは不十分であるといえる。

ゼブラ状CFRPシート補強供試体の荷重-変位関係を計算値とともに図6に示す。荷重-ひずみ関係の計算で、ひずみ硬化開始以降を二次曲線で表す腐食鉄筋の応力-ひずみモデル(図5)、コンクリートは横拘束筋¹⁾およびCFRPシートによる横拘束効果を考慮するモデル²⁾を用い、ファイバーモデルにより計算した。また同じ供試体について最大荷重の経時変化を図7に示す。これは分極抵抗(矩形波)より主筋の腐食減量率を算定し、主筋の性能の低下を考慮した計算値である。劣化初期段階で計算値が小さくなつたが、曲げひび割れ断面の付着切れ、鉄筋腐食による付着劣化を考慮することでさらに精度は向上すると考えられる。

4.まとめ (1)ばらつきはあるものの分極抵抗による腐食減量率の推定が可能である。(2)塩害劣化部材の靭性補強には、鉄筋の性能を補うような曲げ補強も含める必要がある。(3)モニタリングからRC部材の塩害による性能低下曲線を描くことができ、補修・補強適用時期や適用水準決定の基礎資料とできる。

参考文献：1)道路橋示方書・同解説V耐震設計編、pp.130-132、1996.12 2)細谷 学、川島一彦、星隈順一：炭素繊維シートで横拘束したコンクリート柱の応力度-ひずみ関係の定式化、土木学会論文集 No.592/V-39, pp.37-52、1998.5

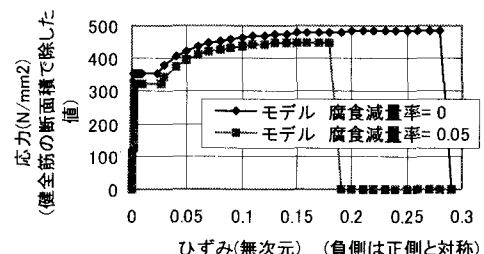


図5 腐食鉄筋の応力-ひずみモデル

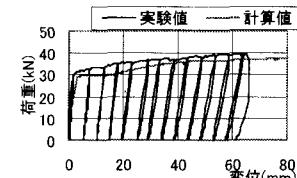


図6 荷重-変位関係の計算(腐食減量率2.2%)
最大荷重の経時変化
(劣化促進・普通コンセラ状CFRPシート補強供試体および
劣化初期・普通コンセラ状CFRPシート補強供試体)

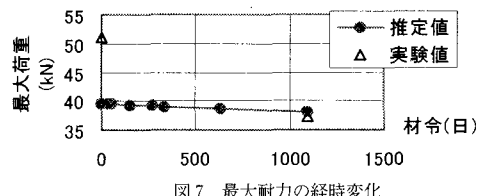


図7 最大耐力の経時変化